



بررسی شکل گیری رنیوم در مولیبدنیت و تاثیر محلول های درون زاد و برون زاد بر توزیع دوباره ی آن در سیستم های پورفیری

بالنده امین زاده

گروه زمین شناسی، دانشکده علوم، دانشگاه شهید باهنر کرمان

(دریافت مقاله: ۹۲/۸/۳۰، نسخه نهایی: ۹۲/۱۰/۱۸)

چکیده: مولیبدنیت خاستگاه اصلی رنیوم در پوسته ی زمین است. در این پژوهش از نتایج داده های کانی شناسی، آنالیز شیمیایی و بررسی میکروسکوپی الکترونی روبشی برای تاثیر فرایندهای درون زاد و سطحی بر رفتار رنیوم در مولیبدنیت استفاده شده است. نتایج بررسی پراش پرتو ایکس روی مولیبدنیت نشانگر آن است که مولیبدنیت ها به صورت ساختار ششگوش اند. الگوهای پراکندگی رنیوم در دانه های مولیبدنیت بیانگر ته نشینی رنیوم به صورت همزمان با مولیبدن طی رشد دانه های مولیبدنیت است. سیالات گرمابی تاخیری موجب شسته شدن رنیوم از مولیبدنیت در منطقه ی درون زاد می شوند. محلول های وابسته به دگرسانی رسی در دمای ۱۰۰ درجه ی سانتیگراد موجب کاهش رنیوم در مولیبدنیت می شوند. مولیبدنیت های وابسته به منطقه ی برون زاد در مقایسه با مولیبدنیت های منطقه ی درون زاد از مقادیر رنیوم کمتری برخوردارند.

واژه های کلیدی: توزیع؛ رنیوم؛ سرچشمه؛ سیستم پورفیری؛ مولیبدنیت.

مقدمه

که تاکنون تحقیقات لازم در مورد تاثیرهای زیست محیطی رنیوم انجام نشده است، بنابراین باید در استفاده از آن با احتیاط رفتار شود.

مولیبدنیت به عنوان کانی اصلی حاوی رنیوم در پوسته ی زمین شناخته شده است. از این رو تمرکز رنیوم در مولیبدنیت، موجب افزایش ارزش اقتصادی این کانی شده است. مولیبدنیت در طبیعت به دو شکل ششگوش (2H) و لوزی رخ (3R) شناخته شده است. ساختمان پلی تایپ های 2H و 3R در شکل ۱ مقایسه شده است.

اتم های مولیبدن با ۶ اتم گوگرد به شکل منشور ششگوشی و هر اتم گوگرد نیز به وسیله ی ۳ اتم مولیبدن همطراز شده است. هر سلول واحد در مولیبدنیت های پلی تایپ 2H از ۲ لایه و در مولیبدنیت های پلی تایپ 3R از ۳ لایه تشکیل

رنیوم یک فلز سفید نقره ای درخشان با عدد اتمی ۷۵؛ یکی از کمیاب ترین عناصر پوسته زمین (با فراوانی $10^{-8} \times 7\%$ درصد) است. این فلز دارای کاربردهای گوناگونی نظیر استفاده از آن در تصفیه نفت خام و صنایع الکترونیک، از مقدار بسیار کمی از آن برای تغییر شکل فلزاتی از جمله مولیبدن، تنگستن و تالیوم، در ساختار سفینه های فضایی، هواپیما، در ساخت کاتالیزور Platinum-Rhenium که در ساخت بنزین سوپر و بدون سرب، به عنوان Filament در طیف سنج جرمی و اندازه گیری های یونی، در ساخت لامپ های فلاش دوربین های عکاسی و نیز سیستم رادیواکتیو Re-Os به عنوان یک زمان سنج زمین شناسی [۱] و به عنوان یک ردیاب ژئوشیمیایی برای حل مسائل زمین شناسی کاربرد دارد [۲-۴]. از آنجا

می شود [۵،۶].

میزان عناصر اصلی در مولیبدنیت های هگزاگونال و لوزی رخ تقریباً یکسان است؛ ولی در شرایط زمین شناسی مولیبدنیت های شش گوش در مقایسه با مولیبدنیت های به شکل لوزی رخ از فراوانی بیشتر، مقدار رنیوم کمتر برخوردارند و از ویژگی محلول های گرمایی تشکیل دهنده ی آن ها فوگاسیته گوگرد و دمای بالاتر است [۵،۶].

در این بررسی الگوی توزیع رنیوم در مولیبدنیت های کانسار سرچشمه برای پی بردن به شرایط ته نشینی رنیوم از محلول های گرمایی اولیه، عامل سیستم کانه زایی، و تاثیر دگرسانی ها بر مقادیر رنیوم در مولیبدنیت بیان شده است.

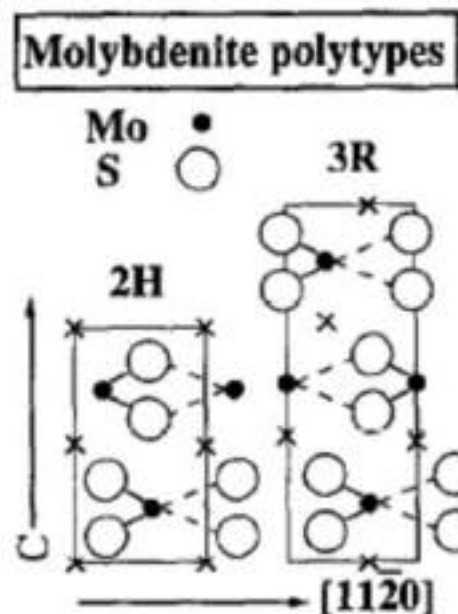
چگونگی توزیع رنیوم در کانسارهای پورفیری

مولیبدنیت به عنوان کانی اصلی دارای رنیوم در سیستم های پورفیری شناخته شده است. از جمله عوامل موثر برای تبلور مولیبدنیت از یک محلول حاوی کمپلکس های مولیبدانی؛ کاهش دما و فوگاسیته اکسیژن (در گستره $\text{SO}_2\text{-H}_2\text{S}$) یا واکنش محلول یاد شده با H_2S است [۷]. رمپل و همکاران [۸] معتقدند که موارد یاد شده دلیلی برای همراهی مولیبدنیت با دگرسانی پتاسیک و فلیک در سیستم های پورفیری است.

شده است. ترتیب لایه ها در پلی تایپ 2H به صورت ۱۲۱۲۰۰۰ در حالی که در پلی تایپ 3R به صورت ۱۲۳۱۲۳۰۰۰ است. معمولاً مولیبدنیت در طبیعت دارای ساختار 2H است. پلی تایپ 3R در مقایسه با پلی تایپ 2H در طبیعت از فراوانی کمتری برخوردار است.

نیوبری [۵] معتقد است که ساختمان پلی تایپ 3R با جانشینی مولیبدن به وسیله ی رنیوم تا حد زیادی موازنه شده است و رابطه مستقیمی بین عیار رنیوم در مولیبدنیت و فراوانی یک نوع پلی تایپ پیشنهاد کرده است. به عقیده او کوچکتر بودن شعاع Re^{+4} نسبت به Mo^{+4} باعث ایجاد نواقصی در شبکه ی بلور شده است. این نواقص در شبکه ی بلوری مولیبدنیت موجب واکنش پذیری بیشتر آن در مقایسه با مولیبدنیت های 2H شده است. تاثیر دگرسانی ها روی کانی مولیبدنیت موجب کاهش رنیوم آن بدون تبدیل ساختمان 3R به 2H می شود؛ زیرا طی این فرایند، انرژی لازم برای چرخش لایه های S-Mo-S و تبدیل پلی تایپ فراهم نیست.

شرایط فیزیکی و شیمیایی حاکم بر کانه سازی مولیبدنیت در کانسارها، نظیر دما و فشار، سرعت سرد شدن، فعالیت گوگرد در سیستم گرمایی و مقدار جانشینی رنیوم از جمله عواملی هستند که سبب به وجود آمدن ۲ نوع ساختار مولیبدنیت



شکل ۱ مقایسه ی ساختار بلورهای مولیبدنیت ششگوشی (2H) و لوزی رخ (3R).

رسوب‌های رنیوم‌دار از صفحه فرورانده شده آرام و ذوب بخشی جبهه می‌داند.

موقعیت زمین‌ساختی سیستم‌های مس-مولیبدن پورفیری شمال یونان پس از برخورد یا بعد از فرورانش (post collision or post subduction) است. سیستم گرمایی کانسارهای یاد شده به ماگماهای ناشی از ذوب بخشی جبهه و لیتوسفر وابسته است. موارد فوق دلیلی برای غنی شدگی رنیوم، طلا و عناصر سیدروفیل در سیستم‌های یاد شده بیان شده است [۱۶].

در سیستم‌های Cu-Mo پورفیری واقع در شمال یونان و ارمستان، مولیبدنیت‌های حاوی بیش از ۱ درصد رنیوم گزارش شده است. از جمله این کانسارها عبارتند از Maronia، Pagoni Rachi و Melitena [۱۸، ۱۷].

نتایج بررسی‌های ملفوز و همکاران [۱۷] در کانسار Cu-Mo پورفیری Maronia نشان داده‌اند که ۵۰ درصد مولیبدنیت‌های کانسار یاد شده دارای ساختار 2H و ۵۰ درصد باقیمانده از نوع 3R است. نتایج داده‌های آزمایشگاهی آن‌ها بیانگر آن است که تفاوت محسوسی در مقادیر عناصر مولیبدن و گوگرد بین ۲ نوع ساختار مولیبدنیت وجود ندارد؛ ولی غلظت رنیوم در کانسار فوق از ۰/۱۲ تا ۲/۸۸ درصد متغیر است. آن‌ها از ادغام نتایج پراش پرتو ایکس (XRD) و نتایج داده‌های شیمیایی مولیبدنیت‌های کانسار یاد شده به این نتیجه رسیدند که مولیبدنیت‌های غنی از رنیوم دارای ساختار 3R و مولیبدنیت‌های 2H فقیر از رنیوم هستند.

وودورس و همکاران [۱۶] نشان دادند که مقدار رنیوم در مولیبدنیت‌های کانسار Pagoni Rachi در شمال یونان وابسته به سیستم تبلور آن نیست و مولیبدنیت‌ها به صورت ششگوشی تبلور شده‌اند.

روش بررسی

برای بررسی مقادیر رنیوم در مولیبدنیت‌های معدن سرچشمه از رگچه‌های دارای مولیبدنیت نمونه‌برداری شد. غلظت رنیوم در مولیبدنیت‌های جدا شده از سنگ معدن (به تعداد ۲۵ عدد) و سیلیکات‌های آلومینیوم‌دار ثانویه همراه مولیبدنیت (۸ عدد) به روش Inductively coupled plasma (ICP-MS) به روش اندازه‌گیری شد. برای شناسایی سیستم تبلور مولیبدنیت روش پراش پرتو ایکس (XRD) X-ray diffraction روی

کاهش دما عامل موثری برای تهنشینی مولیبدنیت از محلول‌های گرمایی حامل مولیبدن در یک سیستم پورفیری است. رنیوم نیز همانند مولیبدن در سیالات گرمایی ماگمایی دمایی بالا به صورت کمپلکس $HReO_4$ انتقال می‌یابد [۹].

در محلول‌های گرمایی با اکتیویته HCl بالا؛ همبافت‌های مولیبداتی هیدروکسیدی به کلرور اکسیدی تبدیل می‌شود و رنیوم نیز در این شرایط فوق به صورت کمپلکس‌های $ReCl^{4+}$ و $ReCl^{3+}$ انتقال می‌یابد [۱۱، ۱۰].

عوامل کنترل‌کننده مقادیر رنیوم در مولیبدنیت‌های کانسارهای پورفیری از نواحی مختلف جهان در مقالات متعددی بررسی شده‌اند. برزینا [۱۲] مقادیر رنیوم از مولیبدنیت‌های ۵۶ کانسار Cu-Mo پورفیری را در اروپا، آسیا، شمال و جنوب آمریکا مقایسه کرده است. به عقیده این پژوهشگر مقادیر رنیوم در مولیبدنیت‌ها به وسیله‌ی چندین فاکتور کنترل می‌شود که عبارتند از: ترکیب شیمیایی محلول‌های گرمایی تشکیل‌دهنده‌ی کانه، خاستگاه سنگ میزبان، میزان کل مولیبدنیت یک کانسار، شرایط فیزیکوشیمیایی حاکم بر کانه‌سازی (فوگاسیته اکسیژن، فعالیت کلرور، دما و فشار).

مولیبدنیت‌های کانسارهای Cu-Mo پورفیری در مقایسه با کانسارهای Mo و Mo-Cu غنی‌تر از رنیوم هستند. از آنجا که در سیستم‌های پورفیری فقط رنیوم وارد ساختار مولیبدنیت می‌شود؛ لذا یکی از عوامل غنی‌تر بودن رنیوم در مولیبدنیت‌های کانسارهای مس پورفیری، حجم محدود مولیبدنیت در این کانسارها نسبت به مولیبدن پورفیری است. مقدار رنیوم در مولیبدنیت وابسته به خاستگاه مولیبدنیت است. مولیبدنیت‌های متبلور شده از محلول‌ها با خاستگاه ماگمای گوشته‌ای در مقایسه با مولیبدنیت‌های متبلور شده از محلول‌های با خاستگاه ماگمای پوسته‌ای غنی‌تر از رنیوم هستند [۱۳]. استین و همکاران [۱۴] معتقدند که اگر سیستم‌های مولیبدن پورفیری نیز به طور ژنتیکی با ماگماهای با خاستگاه گوشته‌ای وابسته باشند، مولیبدنیت‌های این سیستم‌ها نیز از مقادیر بالایی از رنیوم برخوردارند.

تسالینا و همکاران [۱۵] تمرکز بالای رنیوم در سیستم ماگمایی همراه با سنگ‌های بیرونی ناحیه‌ی kudriavy را محلول‌های گرمایی وابسته به ماگمایی که نتیجه‌ی ذوب

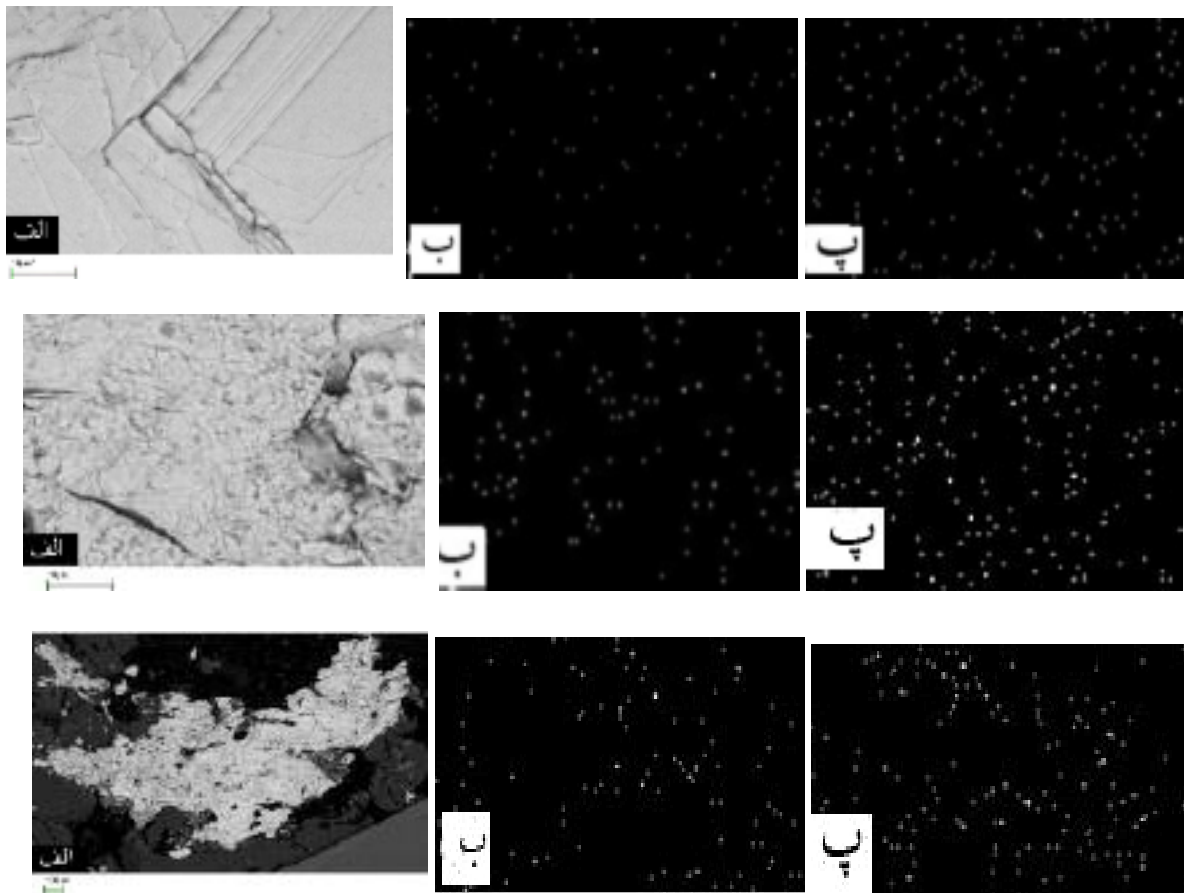
طی رشد بلورهای مولیبدنیت رخ داده است. از آنجا که شعاع یونی رنیوم ($0.63A^{\circ}$) اندکی کوچکتر از شعاع یونی مولیبدن ($0.65A^{\circ}$) است؛ لذا این عنصر می‌تواند جانشین مولیبدن در مولیبدنیت شود.

در کانسارهای پورفیری با عیار قابل توجه رنیوم، نظیر کانسار Pagoni Rachi (شمال یونان) کانی‌سازی رنیوم به صورت رنیت ($Rheniite: ReS_2$) گزارش شده است [۱۶]. نتایج بررسی‌های میکروسکوپی الکترونی روبشی (SEM) روی مولیبدنیت‌های حاوی ۷٫۷ درصد رنیوم توسط وودوریس و همکاران [۱۶] بیانگر رخداد کانی رنیت به بزرگی ۱۵۰ میکرومتر در حاشیه مولیبدنیت است. نتایج بررسی‌های ریز پردازشی الکترونی آن‌ها نشان داد که کانی یاد شده فقط دارای جانشینی بسیار پایین مولیبدن بوده و فاقد عناصر دیگر است.

نمونه‌های مولیبدنیت (۱۴ عدد) انجام شد. از نمونه‌های حاوی مولیبدنیت مقاطع میکروسکوپی (۳۰ عدد) تهیه و به منظور چگونگی توزیع رنیوم در مولیبدنیت بررسی میکروسکوپی الکترونی روبشی (SEM) صورت گرفت. (۴ عدد)

کانه‌زایی مولیبدنیت در کانسار سرچشمه معمولاً همراه با کوارتز؛ به صورت رگچه‌ای در مرحله‌ی گرمایی-دگرسانی پتاسیک و پتاسیک-فیلیک طی مرحله‌ی کانه‌سازی اولیه و اصلی مس (کالکوپیریت) رخ داده است [۱۹].

برای شناسایی چگونگی توزیع رنیوم در مولیبدنیت بررسی‌های میکروسکوپی الکترونی روبشی (SEM) انجام شد. در شکل ۲ پراکندگی رنیوم و گوگرد در ۳ مولیبدنیت بلوری نشان داده شده است. باتوجه به حضور پراکنده‌ی رنیوم در مولیبدنیتی می‌توان گفت که تهنشینی رنیوم به صورت همزمان با مولیبدن



شکل ۲ الف- تصاویر میکروسکوپی از بلور مولیبدنیت مورد بررسی، ب- تصاویر میکروسکوپی الکترونی روبشی (SEM) توزیع رنیوم و پ- توزیع گوگرد.

نتایج بررسی‌های مک‌کاندلس و همکاران [۲۳] روی ۲ سنگ معدن حاوی مولیبدنیت از منطقه کانسار درون‌زاد Eagle (آمریکا) نشان داده که درصد مولیبدنیت‌های دارای ساختار 3R در نمونه‌های ۱ و ۲ به ترتیب ۶۹ و ۸۳ درصد و غلظت رنیوم نیز در نمونه‌های ۱ و ۲ به ترتیب ۰/۳۵ و ۰/۰۸ درصد است. آن‌ها برای پایین‌تر بودن غلظت رنیوم در نمونه‌ی ۲ در مقایسه با نمونه‌ی ۱ به موارد زیر اشاره کرده‌اند: کانه‌زایی مولیبدنیت در کانسار فوق در مرحله‌ی دگرسانی پتاسیک رخ داده‌است و نتایج بررسی‌های کانی‌شناسی روی آن نمونه‌ها نشان‌دهنده‌ی وجود ذرات ریز کانی کلسیت در نمونه ۲ است. وجود کلسیت در نمونه‌ی یاد شده نتیجه تاثیر دگرسانی پروپیلیتیک است. از آنجا که در کانسار یاد شده دگرسانی پروپیلیتیک پس از کانه‌زایی مولیبدنیت رخ داده‌است؛ لذا آن‌ها به این نتیجه رسیدند که تاثیر محلول‌های عامل دگرسانی پروپیلیتیک موجب خارج شدن رنیوم از ساختار مولیبدنیت شده‌است.

تاثیر فرآیندهای برون‌زاد بر عیار رنیوم مولیبدنیت

نتایج حاصل از بررسی‌های کانی‌شناسی در نمونه‌های سنگ معدن بیانگر همراهی تعدادی از نمونه‌های دارای مولیبدنیت با کانه‌های مس شاخص محیط برون‌زاد (سوپرژن) نظیر کالکوسیت و بورنیت است. از آنجا که در سیستم‌های مس-مولیبدن پورفیری محلول‌های گرمایی عامل کانه‌زایی مولیبدنیت درون‌زاد (هیپوژن) هستند، لذا همراهی مولیبدنیت با کالکوسیت نشانه فرآیندهای برون‌زایی پس از تبلور مولیبدنیت است. از مقایسه‌ی مقادیر رنیوم در مولیبدنیت و بررسی‌های میکروسکوپی می‌توان نتیجه‌گرفت که مولیبدنیت‌هایی که پس از تشکیل، تحت تاثیر محلول‌های برون‌زاد قرار گرفته‌اند (دارای مقادیر رنیوم ۲۴۰ تا ۳۲۲ppm)؛ در مقایسه با مولیبدنیت‌های اولیه تشکیل‌شده در منطقه‌ی درون‌زاد، کاهش رنیوم را نشان داده‌اند. با توجه به تفاوت ویژگی‌های ژئوشیمیایی مولیبدن و رنیوم در دماهای پایین‌تر از ۲۵۰ درجه‌ی سانتیگراد؛ با کاهش pH انحلال‌پذیری رنیوم و مولیبدن به ترتیب افزایش و کاهش می‌یابد [۲۱] و همچنین با توجه به نتایج بررسی‌های پراش پرتو ایکس (XRD)

غلظت رنیوم اندازه‌گیری‌شده در مولیبدنیت‌های کانسار Mikheev (اورال) بین ۰/۰۱ تا ۰/۲ درصد متغیر است [۲۰]. از الگوهای ترسیم‌شده رنیوم در مولیبدنیت‌های کانسار یاد شده معلوم شد که توزیع رنیوم در آن‌ها بدون هیچگونه نظم مشخصی و به‌صورت پراکنده طی رشد کانی مولیبدنیت رخ داده‌است [۲۰].

اثر محلول‌های گرمایی درون‌زاد (هیپوژن) بر غلظت رنیوم در مولیبدنیت

مقادیر رنیوم در مولیبدنیت‌های منطقه‌ی کانسار درون‌زاد سرچشمه بین ۳۴۰ تا ۶۵۰ppm متغیر است. نتایج بررسی‌های دگرسانی در مقیاس میکروسکوپی انجام‌شده روی مقاطع نازک-صیقلی از رگچه‌های دارای مولیبدنیت بیانگر حضور ذرات ریز کانی ایلیت در برخی از نمونه‌هاست. از مقایسه‌ی آنالیز شیمیایی و کانی‌شناسی در رگچه‌ها، نتیجه می‌شود که نمونه‌هایی که از عیار پایین‌تری از رنیوم برخوردارند (۳۴۰ تا ۴۵۰ppm) در مقایسه با نمونه‌های سنگ معدن با عیار بالاتر (۴۷۴ تا ۶۵۰ppm) دارای درصد حجمی بیشتری از ایلیت هستند. به‌عبارت دیگر ارتباط معکوسی بین عیار رنیوم در مولیبدنیت‌های وابسته به این رخداد و درصد حجمی ذرات ایلیت در آن‌ها وجود دارد. مقادیر رنیوم در سیلیکات‌های آلومینیوم‌دار ثانویه (ایلیت) مجاور مولیبدنیت که حاصل دگرسانی آرژیلیک‌اند؛ بین ۱۰ تا ۷۰ppm گزارش شد. نتایج بررسی‌های پراش پرتو ایکس (XRD) روی مولیبدنیت‌های با عیار پایین و بالاتر نشان داده‌است که تمامی مولیبدنیت‌های وابسته به کانسار سرچشمه به‌صورت ششگوش‌اند (2H) هستند. در طی تشکیل دگرسانی آرژیلیک شرایط اسیدی است. با توجه به تحرک (mobility) بالای رنیوم در دماهای پایین (۲۵۰-۲۵ درجه‌ی سانتیگراد) در شرایط اسیدی و عدم تحرک مولیبدن در شرایط یاد شده [۲۱]؛ و از آنجا که تقریباً تمامی رنیوم در سیستم‌های گرمایی-ماگمایی وارد ساختار مولیبدنیت می‌شود [۱۶] و دگرسانی آرژیلیک پس از کانه‌سازی مولیبدنیت رخ داده‌است؛ بنابراین تاثیر محلول‌های وابسته به دگرسانی آرژیلیک روی مولیبدنیت موجب خارج شدن رنیوم آن بدون تخریب ساختار مولیبدنیت و جذب رنیوم به وسیله‌ی ایلیت شده‌است.

دگرسانی نمونه‌های سنگ معدن دارای مولیبدنیت از کانسار سرچشمه، می‌توان نتیجه گرفت که مولیبدنیت‌هایی که از عیار پایین‌تری از رنیوم برخوردارند (۳۴۰ تا ۴۵۰ ppm)؛ در مقایسه با نمونه‌های سنگ معدن با عیار بالاتر رنیوم (۴۷۴ تا ۶۵۰ ppm) دارای درصد حجمی بیشتری از رس هستند. از آنجا که دگرسانی آرژیلیک در کانسار سرچشمه پس از کانه‌سازی مولیبدنیت رخ داده‌است؛ لذا تاثیر محلول‌های وابسته با دگرسانی آرژیلیک روی مولیبدنیت موجب بیرون‌راندن رنیوم بدون تخریب ساختار آن شده‌است. از داده‌های آنالیز شیمیایی و نتایج بررسی‌های کانی‌شناسی در نمونه‌های سنگ معدن کانسار فوق، نتیجه می‌شود که مولیبدنیت‌هایی که پس از تشکیل تحت تاثیر محلول‌های برونزاد قرار گرفته‌اند (دارای مقادیر رنیوم ۲۴۰ تا ۳۲۲ ppm)؛ در مقایسه با مولیبدنیت‌های اولیه تشکیل‌شده در منطقه‌ی درونزاد کاهش رنیوم را نشان داده‌اند. همچنین با توجه به نتایج بررسی‌های پراش پرتو ایکس (XRD) روی مولیبدنیت‌های منطقه‌ی درونزاد و مولیبدنیت‌های تحت تاثیر فرآیندهای برونزاد (تمامی آن‌ها به صورت ششگوش (2H) هستند) می‌توان نتیجه گرفت که تاثیر محلول‌های برونزاد موجب آزاد شدن رنیوم بدون تغییر در ساختار مولیبدنیت شده‌است. از موارد فوق و مقایسه‌ی غلظت رنیوم در مناطق برونزاد و درونزاد سیستم‌های پورفیری یادشده در این مقاله می‌توان نتیجه گرفت که در سیستم‌های کانه‌زایی وقتی مولیبدنیت تحت تاثیر محلول‌های تاخیری درون‌زاد و برون‌زاد قرار گیرد؛ رنیوم در ساختمان آن در مقایسه با مولیبدنیت از ثبات کمتری برخوردار است؛ لذا مولیبدنیت‌ها طی فرایندهای یاد شده کاهش رنیوم را نشان می‌دهند.

قدردانی

از هیات تحریریه، نظرات و پیشنهادات سازنده داوران محترم این مجله تقدیر و تشکر می‌شود.

مراجع

[1] Stein H.J., Markey R.J., Morgan J.W., Du A., Sun Y., " *Highly precise and accurate Re-Os ages for molybdenite from East Quling molybdenite*

مولیبدنیت‌های منطقه درون‌زاد و مولیبدنیت‌های تحت تاثیر فرآیندهای برونزاد (تمامی آن‌ها به صورت ششگوش (2H) هستند) می‌توان نتیجه گرفت که تاثیر محلول‌های برونزاد موجب آزاد شدن رنیوم بدون تغییر در ساختار مولیبدنیت شده‌است.

در کانسار پورفیری Morenci (آمریکا)، میانگین غلظت رنیوم اندازه‌گیری شده در مولیبدنیت‌هایی که پس از تشکیل تحت تاثیر محلول‌های برونزاد قرار گرفته و مولیبدنیت‌های مرکز کانسار (دور از تاثیر محلول‌های برونزاد) به ترتیب ۰/۱ و ۰/۳ درصد است که عامل موثر در تفاوت مقادیر رنیوم مولیبدنیت‌های کانسار فوق؛ تاثیر فرآیندهای برونزاد یاد شده‌است [۲۲].

نتایج آنالیز شیمیایی بایکو و میلر [۲۳] روی کانی فری‌مولیبدیت $(\text{Fe}_2 (\text{MoO}_4)_3 \cdot n\text{H}_2\text{O})$ معدن پورفیری Questa (آمریکا) بیانگر آن‌است که کانی یاد شده در مقایسه با مولیبدنیت‌های اولیه (ششگوش) از مقادیر پایین‌تری از رنیوم برخوردار است. به نظر آن‌ها که محلول‌های با دمای پایین برونزاد، موجب تبدیل مولیبدنیت 2H به فری‌مولیبدیت شد و پیامد آن موجب آزاد شدن رنیوم از مولیبدنیت شده‌است. با توجه به حضور کانی رسی ایلیت مجاور کانی فری‌مولیبدیت، آن‌ها پیشنهاد کرده‌اند که رنیوم آزاد شده طی فرآیند برون‌زاد جذب کانی‌های رسی شده‌است. تاثیر هر یک از فرآیندها هوازگی و دگرگونی روی کانی مولیبدنیت موجب کاهش رنیوم مولیبدنیت می‌شود [۲۲].

از موارد یادشده در بالا می‌توان نتیجه گرفت که در سیستم‌های کانه‌زایی، وقتی مولیبدنیت تحت تاثیر محلول‌های تاخیری درون‌زاد و برون‌زاد قرار گیرد؛ رنیوم در ساختار آن در مقایسه با مولیبدنیت از ثبات کمتری برخوردار است؛ لذا مولیبدنیت‌ها در طی فرایندهای یاد شده کاهش رنیوم را نشان می‌دهند.

برداشت

ته‌نشینی رنیوم در کانسار سرچشمه به صورت همزمان با مولیبدنیت طی رشد بلورهای مولیبدنیت رخ داده‌است از مقایسه داده‌های آنالیز شیمیایی، نتایج بررسی‌های پراش پرتو ایکس و

- [11] Xiong Y., Wood S., "Experimental determination of the hydrothermal solubility of ReS_2 and the $Re-ReO_2$ buffer assemblage and transport of rhenium under supercritical conditions" *Geochem. Trans.* 3 (2002) 1-10.
- [12] Berzina A.N., Sotnikov V.I., Economou-Eliopoulos M., Eliopoulos D.G., "Distribution of rhenium in molybdenite from porphyry Cu-Mo and Mo-Cu deposits from Russia (Siberia) and Mongolia". *Ore Geol. Rev.* 26 (2005) 91-113.
- [13] Mao J., Zhang Z., Zhang Z., Du A., "Re-Os isotopic dating of molybdenites in the Xiaoliugou W-(Mo) deposit in the northern Qilian Mountains and its geological significance". *Geochimica et Cosmochimica Acta* 63(1999)1815-1818.
- [14] Stein H.J., Markey R.J., Morgan J.W., Hannah J.L., Schersten A., "The remarkable Re-Os chronometer in molybdenite: how and why it works". *Terra Nova* 13(2001) 479-486.
- [15] Tessalina S.G., Yudovskaya M.A., Chaplygin I.V., Birck J.L., Capmas F., "Sources of unique rhenium enrichment in fumaroles and sulphides at Kudryavy volcano. *Geochim.*". *Cosmochim. Acta* 72 (2008) 889-909.
- [16] Voudouris P.C., "Rhenium - rich molybdenite and rhenite in the Pagoni rachi Mo-Cu-Te-Ag-Au prospect, Northern Greece: Implications for the Re Geochemistry of porphyry style Cu-Mo and Mo mineralization" *Mineral. Assoc. Canada* (2009).
- [17] Melfos V., Voudouris P., Arikas K., Vavelidis M., "High Re concentration in molybdenites from porphyry-Mo Cu in Thrace (NE Greece)". *Bull. Geol. Soc. Greece.* 36 (2001) 416-423.
- [18] Filippidis A., Vavelidis M., Michailidis K., Evangelou E., "Re-rich and Re poor molybdenite in the Melitena porphyritic intrusion, Rhodope massif". *Fortschr. Mineral.* 64 (1986) 47 (abstr)
- [۱۹] امین‌زاده ب.، "مطالعه کانی‌شناسی و ژئوشیمی سیالات درگیر در ارتباط با کانسارسازی مولیبدن در معدن مس سرچشمه و کاربرد آن در بازیابی موثر مولیبدن". پایان‌نامه کارشناسی ارشد، دانشگاه شهید باهنر کرمان (۱۳۸۵) ۱۱۲ صفحه.
- [20] Grabezhev A.I., Shagalov E.S., "Rhenium distribution in Molybdenite: Result of Microprobe belt, Shaanxi Provinces China" *Econ. Geol.* 92 (1997) 827-835.
- [2] Todorov T., Staikov M., "Rhenium content in molybdenite from ore mineralizations in Bulgaria" *Geologica Balcanica* 15 (6) (1985) 45-58.
- [3] Ishihara S., "Rhenium contents of molybdenites in granitoid-series rocks in Japan" *Econ. Geol.* 83 (1988) 1047-1051
- [4] Xiong Y., wood S., "Hydrothermal transport and deposition of rhenium under subcritical conditions (up to 200 °C) in light of experimental studies" *Econ. Geol.* 96 (2001) 1429-1444
- [5] Newberry R.J.J., "Polytypism in molybdenite: (II). Relationships between polytypism, ore deposition, alteration stages and rhenium contents" *Am. Mineral.* 64 (1979) 768-775.
- [6] Clark A.H., "Compositional differences between hexagonal and rhombohedral molybdenite". *Neues Jahrb. Mineral. Monatsh.* (1970) 33-38.
- [7] Hannah J. I., Stein H. J., Wieser M.E., De Laeter J. R., Varner M. D., "Molybdenum isotope variations in molybdenite: vapour transport and Rayleigh fractionation of Mo", *Geology.* 35 (2007) 703-706.
- [8] Rempel k. U., Williams-Jones A. E., Migdisov A. A., "The solubility of molybdenum dioxide and trioxide in HCl-bearing water vapour at 350°C and pressures up to 160 bars", *Geochim. Cosmochim. Acta.* 72 (2008) 3074-3083.
- [9] Stein H. J., Schersten A., Hannah J. L., Markey R. J., "Subgrain-scale decoupling of Re and 187Os and assessment of laser ablation ICP-MS spot dating in molybdenite", *Geochim. Cosmochim. Acta* 67 (2003) 3673-3686.
- [10] Xiong Y., Wood S., "Experimental determination of the solubility of ReO_2 and dominant oxidation stage in hydrothermal solutions", *Chem. Geol.* 158 (1999) 245-259.

[22] McCandless T. E., Ruiz J., Campbell A. R., "Rhenium behavior in molybdenite in hypogene and near- surface environments: implications for Re-Os geochronometry", *Geochim. Cosmochim. Acta.* 57 (1993) 889-905.

[23] Boykov T.F., Miller A.D., "Behavior of rhenium during weathering of igneous rocks". *Geokhimiya* 5 (1980) 773-777.

Scanning (Copper Porphyry deposits, the Urals)". Doklady Earth Sciences. 431 (2010) 351-355

[21] Xiong X.M., Lentz D.R., Sylvester P.J., "Gold contents of sulfide minerals in granitoids from southwestern New Brunswick", Canada, *Miner. Deposita.* 41, (2006)369-386.